

非实比熔融中 P 值对熔融产物影响的讨论

许继锋 张本仁

(中国地质大学地球科学学院, 武汉 430074)

主题词 非实比熔融 P 值 地幔源岩

提 要 非实比部分熔融模型中 P 值的大小取决于熔融模式, 不同的 P 值会造成熔体成分的改变。当 P 值不同时, 相容元素和弱不相容元素在熔体中的浓度出现大的变化, 因此, 在模型中这些元素的 P 值不能用 D_0 代替; 然而, P 值的变化仅造成强不相容及中等不相容元素的浓度小的变化, 可以认为强不相容与中等不相容元素的 P 值约等于 D_0 。在部分熔融程度相同的条件下, 不同的 P 值可以使同种源岩熔出稀土元素模式亏损或富集的不同岩浆类型。

自然界地幔的部分熔融过程存在着不同的方式与作用, 如实比熔融与非实比熔融^[1,2]。然而, 目前对部分熔融岩浆作用地球化学问题的讨论, 一般只考虑实比熔融过程。本文主要讨论非实比熔融作用在自然界的普遍存在, 以及在地幔部分熔融过程中 P 值对熔融产物的影响。

1 问题的提出

对一个批式部分熔融模型^[1]:

$$\frac{C^i}{C_0} = \frac{1}{D^i + F(1 - P^i)} \quad (1)$$

P 值是指进入熔体那部分固相与原固相间的总分配系数:

$$P^i = X_\alpha K_\alpha^i + X_\beta K_\beta^i + X_\gamma K_\gamma^i + \dots + X_\nu K_\nu^i \quad (2)$$

其中 $\alpha, \beta, \gamma, \dots, \nu$ 为进入熔体中矿物相; $X_\alpha, X_\beta, X_\gamma, \dots, X_\nu$ 为进入熔体中矿物相的质量百分数, $X_\alpha + X_\beta + X_\gamma + \dots + X_\nu = 1$; K_α^i 是元素 i 在矿物相 α 与熔体间的分配系数。因此, P 值应是熔融模式(melting mode)的函数, 熔融模式是指进入熔体中矿物相之间的相对比例数。当 $D_0^i = P^i$ 时, 为实比熔融, 它在熔融过程中源岩矿物相的质量百分数始终不变, 等于源岩中矿物相的质量百分数; 当 $P^i \neq D_0^i$ 时, 则为非实比熔融, 它在熔融过程中矿物相比例会发生变化^[2]。 P 值与原始固相总分配系数(D_0^i)与残余固相总分配系数(D_{rs}^i)之间的关系为^[2]:

$$P^i = \frac{D_0^i - (1 - F)D_{rs}^i}{F} \quad (3)$$

实比熔融过程 $P^i = D_{rs}^i = D_0^i$, 而非实比熔融过程中, $P^i \neq D_{rs}^i \neq D_0^i$ ^[2]

本文为国家自然科学基金(49290102)资助项目部分内容。

本文于 1995 年 2 月收到, 1995 年 10 月改回。

在讨论自然界的岩浆作用时,由于 P 值难以确定,为了讨论方便,人们常采用实比熔融模型讨论,即假定 $P^i = D_0^i$ 。而在自然界的实际岩浆过程中, $P^i \neq D_0^i$, 即为非实比熔融过程。原因是:①玄武岩的源岩地幔二辉橄榄岩,其部分熔融时不可能只有与源岩矿物比例相同的一种熔融模式,即 P^i 不可能总是等于 D_0^i ;②阿尔卑斯型橄榄岩被认为是源岩二辉橄榄岩部分熔融的残余^[3],若为实比熔融地幔残余物应是二辉橄榄岩,因实比熔融中源岩与残余岩的矿物比例不变,而它们主要由橄榄石与斜方辉石组成,表明应为非实比熔融。所以,非实比熔融在自然界是普遍存在的。

2 P 值与熔融模式及其对熔体成分的影响

在一定的条件下,元素 i 在矿物相与熔体之间的分配系数是不变的^[2]。因而 P^i 值的大小只会随部分熔融的熔融模式的不同而变化。 P^i 值与 D_0^i 值的关系是:当熔融模式(进入熔体矿物相之间的比例)与源岩中的矿物相比例相同时, $P^i = D_0^i$;当熔融模式变化时, P^i 值可大于 D_0^i 值,或小于 D_0^i 。 P^i 值的大小及其变化偏离(大于或小于) D_0^i 值的程度,除取决于熔融模式之外,不同的元素表现也不一样,这是 P 值难以确定与估计的原因。

为了评估熔融模式变化对不同元素 P 值大小变化的影响,本文将按相容元素(如 Ni)、弱不相容元素(如 Yb)、强与中等不相容元素(如 La 等)分别考虑。假定一个原始的地幔源岩中由 $\text{Cpx} : \text{Opx} : \text{Ol} : \text{Gt} = 25 : 25 : 40 : 10$ 组成^[4],作者计算了几种具有代表性熔融模式的元素 Ni、Yb、La 的 P 值,计算所用元素 La、Yb 的分配系数引自[3]及转引[2],Ni 的分配系数数据[5]与 Hanson(1975)转引[2]。由于不同作者求得的矿物/熔体之间的分配系数 K_D 不同,且有一定的变化范围,因而,据此求得相同的熔融模式的 P 值也有一定的变化范围。不同熔融模式 P 值、 D_0 值列于表 1 中。从计算结果可知:①只要熔融模式变化,均会造成相容元素 Ni 的 P 值大的变化, P^{Ni} 会远离 D_0^{Ni} 的值。②对于弱不相容元素 Yb,当熔融模式接近源岩的矿物相比例时, P 值相对于 D_0 值变化不大,当熔融模式出现大的变化(如 $\text{Cpx} : \text{Opx} : \text{Ol} : \text{Gt} = 60 : 0 : 0 : 40$ 时), P^{Yb} 值大大偏离 D_0^{Yb} 值。③对于不相容元素 La,当熔融模式出现变化时, P^{La} 值可大于或小于 D_0^{La} 值,但 P^{La} 与 D_0^{La} 之间的差异不大,就是最极端变化, $\text{Cpx} : \text{Opx} : \text{Ol} : \text{Gt} = 90 : 0 : 0 : 10$, P^i 值也仅为 0.109。

表 1 熔融模式与 P 值的关系

Table 1 Relationship between melting modes and P values

熔融模式 (质量百分比) $\text{Cpx} : \text{Opx} : \text{Ol} : \text{Gt}$	P^{Ni}	P^{Yb}	P^{La}
10 : 40 : 40 : 10	5.31—8.32	0.459—0.492	0.011—0.014
30 : 20 : 20 : 30	2.92—5.36	1.312—1.443	0.010—0.039
40 : 0 : 0 : 60	0.44—2.08	2.538—2.816	0.0082—0.054
60 : 0 : 0 : 40	0.63—2.12	1.792—1.972	0.012—0.076
90 : 0 : 0 : 10	0.970—3.68	0.673—0.711	0.018—0.109
25 : 25 : 40 : 10 D_0	5.31—7.93	0.945—0.534	0.013—0.031

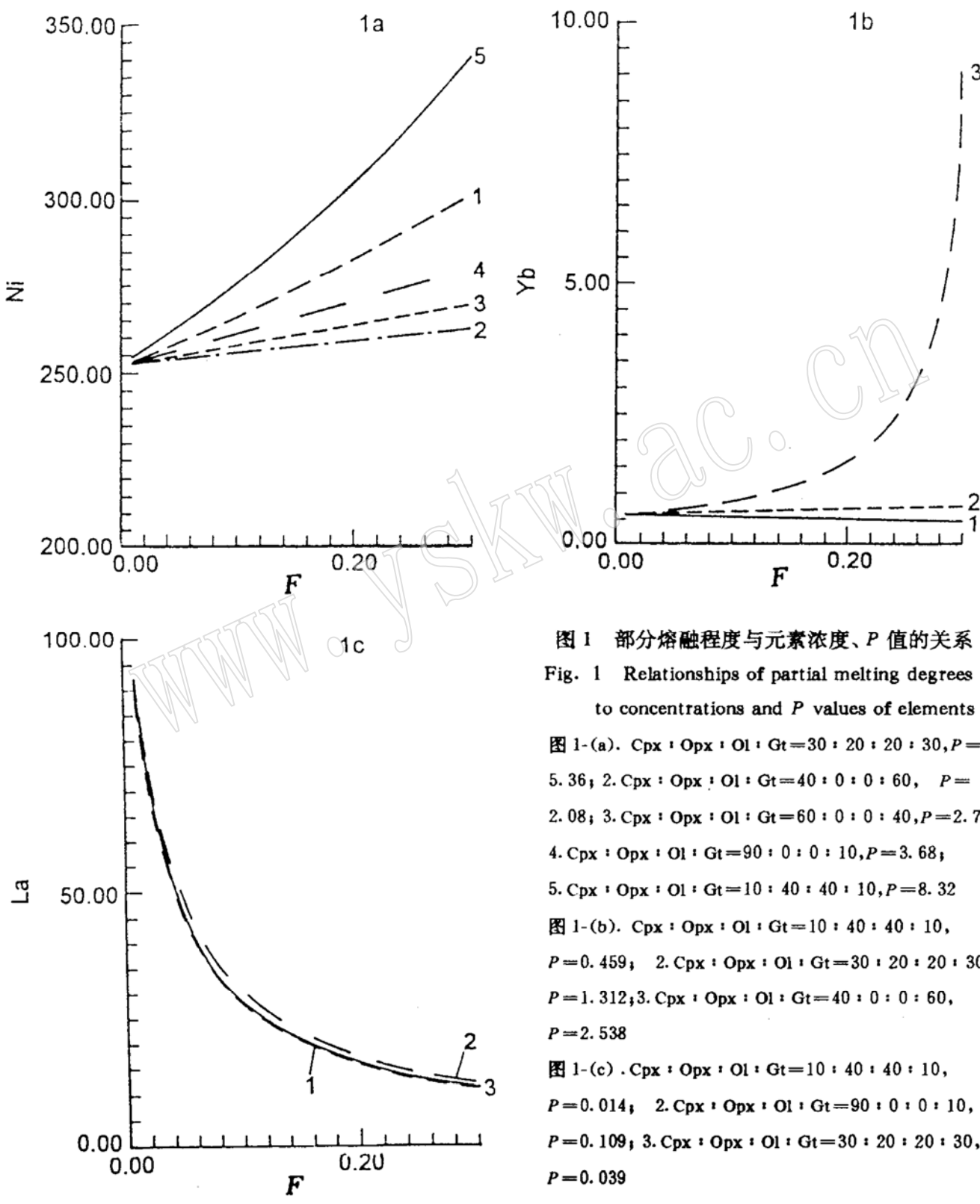
$$K_{\text{Si}}^{P_{\text{Si}}} = 0.02, 0.12; K_{\text{Al}}^{P_{\text{Al}}} = 0.0012, K_{\text{Mg}}^{P_{\text{Mg}}} = 0.02, 0.0004; K_{\text{Ca}}^{P_{\text{Ca}}} = 0.0007, 0.1;$$

$$K_{\text{Fe}}^{P_{\text{Fe}}} = 0.29, 0.30; K_{\text{Mn}}^{P_{\text{Mn}}} = 0.009, 0.06; K_{\text{Ti}}^{P_{\text{Ti}}} = 0.023, 0.00522; K_{\text{Cr}}^{P_{\text{Cr}}} = 4.5, 4.03;$$

$$K_{\text{V}}^{P_{\text{V}}} = 1.00, 4.00; K_{\text{Nb}}^{P_{\text{Nb}}} = 1.6, 6.60; K_{\text{Ta}}^{P_{\text{Ta}}} = 12.00, 13.00; K_{\text{Zr}}^{P_{\text{Zr}}} = 0.067, 0.80$$

每个元素矿物/熔体分配系数的不同值为不同作者的结果,所据文献见正文。

熔融模式的不同会引起 P 值的变化,而 P 值的大小如何影响熔体成分的变化仍是不清楚的。由于熔融模式的 P 值有一定的范围,为了讨论的方便,本文选取代表性的 P 值来计算。下面先考虑批式熔融过程,从图 1-a 可知,在相同的部分熔融程度下,相容元素 Ni 的 P 值变化时,会导致熔体中 Ni 浓度大的变化;图 1-b 则表明,弱不相容元素 Yb,当 P 值较大地



偏离 D_0 时,也会导致熔体中 Yb 浓度大的变化;而在图 1-c 中,不相容元素 La,在相同的部分熔融程度下,P 值变化时,仅导致熔体中 La 的浓度较小的变化,因此在考虑地幔的部分熔融过程时,对于相容元素与弱不相容元素,必须考虑熔融模式与 P 值大小,不能将 D_0 值代替 P 值,因为不同的 P 值会形成不同成分的熔体;而对于不相容元素特别是强不相容元素,则可视 $P=D_0$,此时,在相同的部分熔融程度下,用 D 值代替 P 值计算得到的熔体成分与考虑 P 值计算的熔体成分之间的差异,在测试误差范围之内。

上述结果仅考虑了非实比批式熔融,对于非实比的分离熔融与收集熔融,考虑 P 值对熔体成分的影响,其结果与非实比批式熔融得出的结论基本相同。根据非实比分离熔融与收集熔融模型可知,两种熔融方式要求 $(1-P \cdot F/D_0) > 0$,即 $P \cdot F/D_0 < 1$,因而 P 与 D_0 值的差异不能太大,一些极端的熔融模式实际上是不存在的。这样,分离熔融与收集熔融相对于批式熔融 P 值对熔体成分的影响较小,但相容、弱不相容、不相容元素的变化规律是一致的。限于篇幅,有关图件与讨论在此省略。

3 P 值对熔体 REE 模式的影响

元素比值 La/Yb 可反映岩石稀土元素配分模式中轻重稀土的亏损与富集情况。当 $(La)_N/(Yb)_N$ 大于 1 时,REE 模式为 LREE 富集型,等于 1 时为平坦型,小于 1 时为 LREE 亏损型。图 2 说明了不同 P 值对 $(La)_N/(Yb)_N$ 的影响。从图 2-a 中可看出,非实比的批式熔融在相同的部分熔融程度下,当 $F > 0.05$ 时,不同的 P 值会造成熔体 $(La)/(Yb)$ 比值的变化,而这种变化主要是由于 P^{Yb} 值的不同而造成熔体中 Yb 的浓度变化的, P^{Yb} 的增大导致 La/Yb 值变小,也就是 LREE 的富集程度降低,如当 $F > 0.2$ 时,不同的 P 值可使得有的 $(La)_N/(Yb)_N$ 值大于 1,而有的 $(La)_N/(Yb)_N$ 值接近 1,甚至小于 1。因此,玄武岩中稀土元素的分配型式,除了与地幔源岩的浓度和部分熔融程度有关外,还与熔出岩浆的 P 值有关。非实比的收集熔融(图 2-b)与分离熔融(图略),由于上述 P 值不能过大地偏离 D_0 值,因而 P 值对 La/Yb 比值的影响相对较小,其中分离熔融过程 P 值对 La/Yb 比值的影响最小。因此,源岩相同,由于 P 值与熔融模式不同,也可熔出轻稀土亏损与富集的不同的岩浆类型。

由此可知,玄武岩等幔源岩石 REE 的分配模式,除了前人认为的与源岩组成、部分熔融程度有关外,LREE 的亏损与富集程度还与 P 值有关,REE 模式应是它们三者综合影响的结果。在自然界考虑用 REE 模式讨论岩石成因时,对于较大部分熔融程度熔出的岩浆岩,必须考虑 P 的影响。比如一套大洋拉班玄武岩,常具有 REE 平坦型与 LREE 亏损型两种稀土模式,它们肯定源于相同的源岩,并被认为是较高部分熔融程度的熔融产物,由于它们的部分熔融程度近似,源岩又相同,因而它们具有的两种 REE 模式的差异很有可能是由不同的 P 值熔融形成的。

4 P 值对 $(C^i/C^j)/(C_0^i/C_0^j)$ 比值的影响

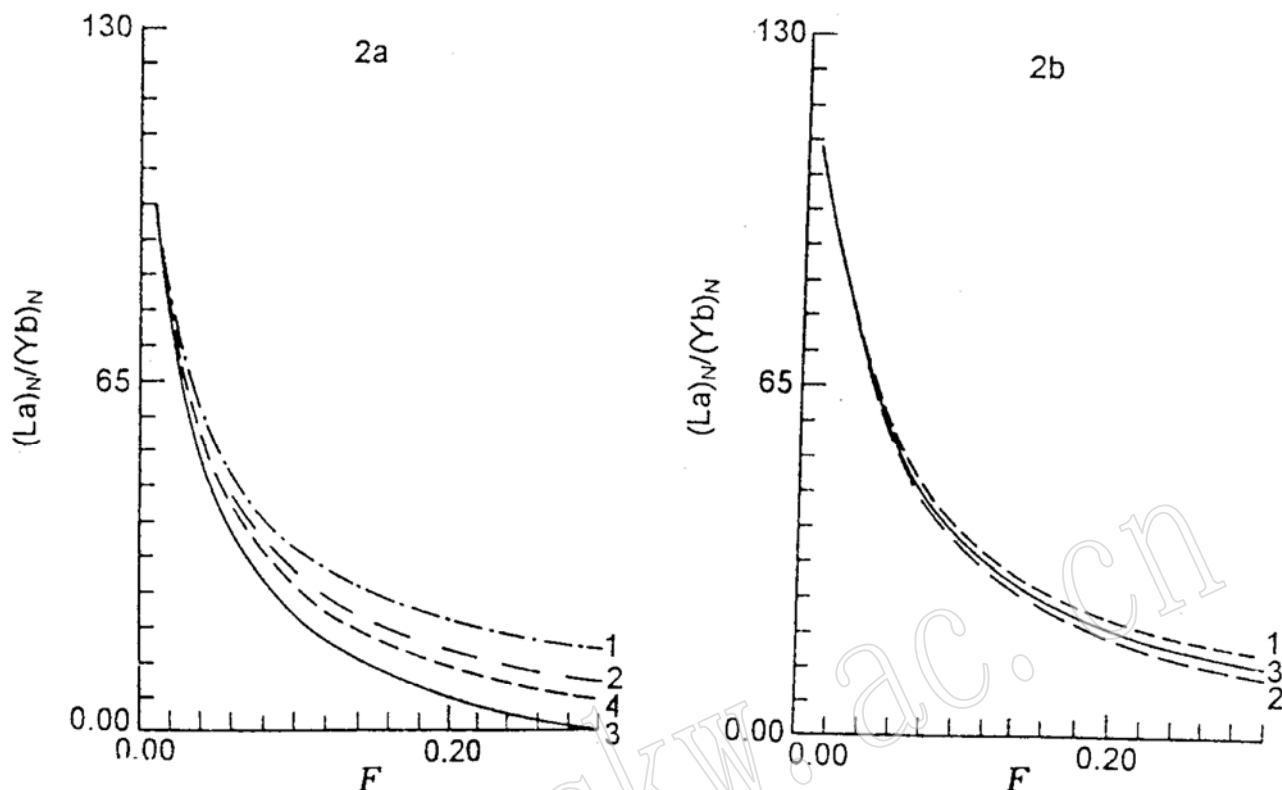


图 2 不同部分熔融程度与 $(\text{La})_N/(\text{Yb})_N$ 比值、 P 值的关系

Fig. 2 Relationships of different partial melting degrees to $(\text{La})_N/(\text{Yb})_N$ ratios and P values

图 2-a 非实比批式熔融

1. Cpx : Opx : Ol : Gt = 10 : 40 : 40 : 10, $P^{L*} = 0.014, P^{R*} = 0.459$;
2. Cpx : Opx : Ol : Gt = 30 : 20 : 20 : 30, $P^{L*} = 0.039, P^{R*} = 1.312$;
3. Cpx : Opx : Ol : Gt = 40 : 0 : 0 : 60, $P^{L*} = 0.054, P^{R*} = 2.538$;
4. Cpx : Opx : Ol : Gt = 60 : 0 : 0 : 40, $P^{L*} = 0.076, P^{R*} = 1.792$

图 2-b 非实比收集熔融

1. Cpx : Opx : Ol : Gt = 10 : 40 : 40 : 10, $P^{L*} = 0.014, P^{R*} = 0.459$;
2. Cpx : Opx : Ol : Gt = 30 : 20 : 20 : 30, $P^{L*} = 0.039, P^{R*} = 1.312$;
3. Cpx : Opx : Ol : Gt = 50 : 20 : 20 : 10, $P^{L*} = 0.061, P^{R*} = 0.566$, $C_{\text{Yb}}^* = 0.3 \times 10^{-6}$, $C_{\text{Yb}}^* = 3.7 \times 10^{-6}$.

汪云亮^[6]、郑海飞^[7]研究了实比熔融过程,指出不相容元素的比值可反映源岩的比值。这一结论未考虑非实比熔融,也就是未考虑 P 值的影响。对于一个非实比批式熔融过程:

$$\frac{(C^i/C^j)/(C_0^i/C_0^j)}{(D_0^i+F(1-P^i)/(D_0^i+F(1-P^i))} \quad (4)$$

当上式右边等于或接近 1 时,则表明 $(C^i/C^j)/(C_0^i/C_0^j)$,即岩浆中元素对的比值等于源岩中的比值;该值远远偏离 1 时,则表明岩浆中元素对比值不等于源岩中的比值。下面选取不同的 D_0^i, P^i, P_0^i, P^j 值来讨论。从图 3-a 中可知,当 D_0^i 与 D_0^j 值相同时, P^i, P^j 值的不同会造成 R 值 $(C^i/C^j)/(C_0^i/C_0^j)$ 的不同;且只有 $D_0^i, D_0^j \leq 0.05, P^i, P^j \leq 0.1$ 左右时,熔体与源岩的两元素比值才接近。从图 3-b 中可知,当 $D_0^i \neq D_0^j, P^i > D_0^i, P^j > D_0^j$ 时,大部分情况下, $(C^i/C^j)/(C_0^i/C_0^j)$ 偏离于 1, 只有 $D_0^i, D_0^j \leq 0.05$ 左右,且 P^i, P^j 值与 D_0^i, D_0^j 相差不大时,熔体与源岩比

值才接近。因此, P 值的不同对熔体与源岩元素比值的差异是有影响的, 要消除 P 值的影响, 使得熔体的元素比值能反映源岩的比值, 只有选择不相容元素 (D 值 ≤ 0.05 左右) 特别是强不相容元素, 熔体中这些元素的比值才能反映源区的特征。

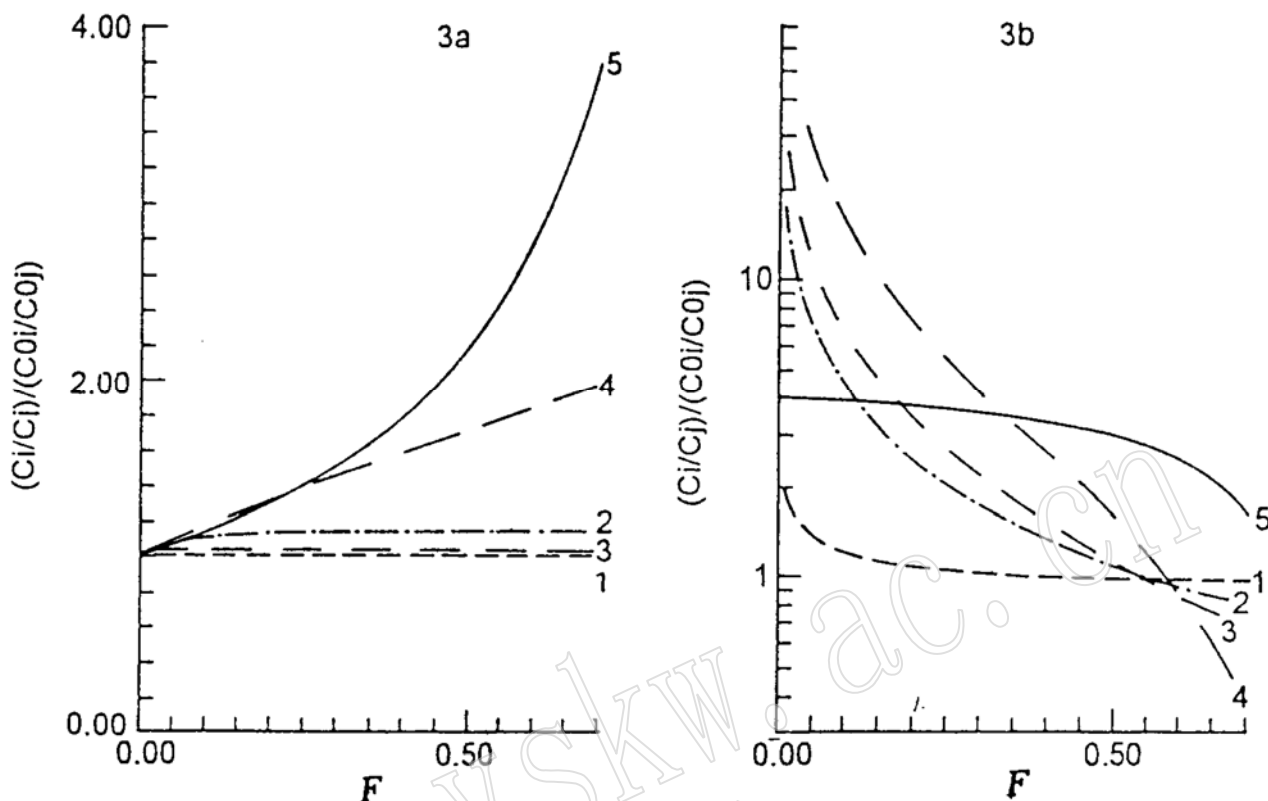


图 3 不同部分熔融程度与 P 值、 D 值及元素比值的关系

Fig. 3 Relationships of different partial melting degree to P values, D values and ratios of elements

图 3-a 1. $D_b = 0.05$ $P^1 = 0.025$ $D_b^2 = 0.05$ $P^2 = 0.01$; 2. $D_b = 0.005$ $P^1 = 0.05$ $D_b^2 = 0.005$ $P^2 = 0.01$; 3. $D_b = 0.05$ $P^1 = 0.15$ $D_b^2 = 0.05$ $P^2 = 0.01$; 4. $D_b = 0.5$ $P^1 = 0.9$ $D_b^2 = 0.5$ $P^2 = 0.1$; 5. $D_b = 0.5$ $P^1 = 1.5$ $D_b^2 = 0.5$ $P^2 = 0.9$;

图 3-b 1. $D_b = 0.02$ $P^1 = 0.09$ $D_b^2 = 0.05$ $P^2 = 0.15$; 2. $D_b = 0.02$ $P^1 = 0.09$ $D_b^2 = 0.5$ $P^2 = 0.95$; 3. $D_b = 0.02$ $P^1 = 0.09$ $D_b^2 = 0.8$ $P^2 = 1.5$; 4. $D_b = 0.02$ $P^1 = 0.09$ $D_b^2 = 2$ $P^2 = 3.5$; 5. $D_b = 0.5$ $P^1 = 1.5$ $D_b^2 = 2$ $P^2 = 3.5$

5 P 值的计算

对于部分熔融岩浆过程, P 值较难确定, 但是当源岩成分已知时, 可据以下方法^[8]求出实际的 P 值:

对于非实比批式熔融过程, 元素比值遵循下式^[4]:

$$\frac{C^i}{C^j} = [D_b^i - D_b^j \left(\frac{1-P^j}{1-P^i} \right)] \frac{C_0^i}{C_b^i} + \frac{C_b^i}{C_0^i} \left(\frac{1-P^j}{1-P^i} \right) \quad (5)$$

若选取一个强不相容元素 C^i , 使 $D_b^i \approx 0$, 这样上式可变为:

$$\frac{C^i}{C^j} = \frac{D_b^j}{C_b^i} C^i + \frac{C_b^i}{C_0^i} (1-P^j) \quad (5)$$

对于部分熔融形成的一套岩石, 其成分在 C^i/C^j-C^i 图上呈线性关系, 当已知源岩中的

C^i/C^j , 据 C^i/C^j — C^i 图上的斜率与截距可分别求出 D^i, P^j 值。

作者据郑海飞玄武岩熔融实验结果①,用此方法求得了不同元素的实际 P 与 D_0 值,(见表 2)。从表中可知,该熔融实验中大部分元素的 P 值大于 D_0 值,少数小于 D_0 值,其中 Yb 的 P 值为负值,是由于测试误差所造成的。

表 2 玄武岩熔融实验的实际 P 值与 D_0 值

Table 2 Actual P values and D_0 values in melting experiments on basalt

	Cr	Ni	La	Ce	Sm	Yb	Sc	Hf	Th	Ta
D^i	1.59	2.21	0.45	0.48	0.64	0.45	0.57	0.42	0.52	0.630
P^j	1.66	2.29	0.52	0.53	0.67	-0.4	0.53	0.49	0.58	0.634

需要指出的是,上述方法只能在已知源岩情况下求取 P 值,然而,当源岩组成未知时,如何求取 P 值,目前尚无好的方法,这是一个值得进一步探讨的问题。

6 结论

(1) 非实比熔融过程中, P 值的大小取决于熔融模式。

(2) 相容元素与弱不相容元素的 P 值变化会使熔体成分发生改变,因此,用相容元素与弱不相容元素研究部分熔融,需考虑 P 值大小,不能用 D_0 代替 P 值;而强与中等不相容元素, P 值的变化引起的熔体成分的差异较小,对于强不相容元素,可视 $P=D_0$ 。

(3) 玄武岩稀土配分型式除与源岩和部分熔融程度有关之外,还与部分熔融的 P 值相关。

(4) 在非实比熔融过程中,只有 D^i 值与 P 值小于 0.05 左右时,熔体中不相容元素的比值才能反映其源区的特征。

参 考 文 献

- Alle'gre C J and Minster J F. Quantitative models of trace element in igneous petrology. Earth Planet. Sci. Lett. 1978, 38: 1—25.
- 李昌年. 火成岩微量元素岩石学. 中国地质大学出版社, 1992, 29—66.
- Prinzhof A and Alle'gre C J. Residual peridotites and the mechanisms of partial melting. Earth Planet. Sci. Lett. 1985, 74: 251—265.
- Béardard J H. Disequilibrium mantle melting. Earth Planet. Sci. Lett. 1989, 91: 559—366.
- Wood B J and Fraser D J. Elementary thermodynamics for geologists, oxford University press. 1978, 23—57.
- 汪云亮等. 慢源岩浆岩源区成分判别原理及峨眉山玄武岩慢源区性质. 地质学报, 1993, 67, 52—61.
- 郑海飞等. 元素比值研究玄武岩源区成分的若干问题讨论. 矿物学报, 1994, 14, 61—67.
- Clague D A et al. Petrology and trace element geochemistry of the honolulu volcanics. Oahu: implication for the oceanic mantle below Hawaii. Journal of Petrology, 1982, 23: 447—504.
- Minster J F et al. Systematic use of trace elements in igneous processes, II, Inverse problem of batch partial melting in volcanic suits. Contrib. Mineral. Petrol. 1978, 68, 37—52.

① 郑海飞(1994)贵阳地球化学研究所博士后研究报告。

A Discussion on Effects of P Values on Chemical Composition of Melts formed by Nonmodal Partial Melting

Xu Jifeng, Zhang Benren

(China University of Geosciences, Wuhan 430074)

Key words: nonmodal partial melting; P value; mantle source rock

Abstract

P values of the nonmodal partial melting model depend on the melting mode. Different P values will result in variation of melt composition. Abundances of compatible and weakly incompatible elements in melt vary greatly when P values change, so P values of these elements can not be replaced by D_0 in the melting model. However, abundances of moderately and highly incompatible elements only show small variation when P values are different. It is thought that P values of moderately and highly incompatible elements are equal to D_0 values in the non-modal partial melting model. When P values are different, a primary rock may form melts different in LREE enrichment or depletion under the same degree of partial melting.